

تعیین منحنی‌های همدمای جذب رطوبت کشمش بیدانه قرمز و برآزش

مدلهای مختلف برای آن

*^۲ محمد غلامی پرشکوهی^۱، سعید مینایی^۱

۱- دانشجوی دکتری دانشگاه آزاد اسلامی واحد علوم و تحقیقات و عضو هیات علمی دانشگاه آزاد اسلامی واحد ناکستان

۲- استادیار، گروه مکانیک ماشینهای کشاورزی، دانشگاه تربیت مدرس، تهران

چکیده

منحنیهای همدما در دفع آب، ذخیره و بسته‌بندی مواد غذایی مفید هستند. بخاطر ترکیبات پیچیده مواد غذایی، برآورد ثوری منحنی‌های همدما غیر ممکن بوده و اندازه‌گیری تجربی مورد نیاز می‌باشد. در این تحقیق منحنیهای همدمای جذبی کشمش بیدانه قرمز در دماهای ۳۰، ۴۰، ۵۰، ۶۰، ۷۰ و ۸۰ درجه سانتی‌گراد به روش ایستا (وزن سنجی) مطابق با دستور العمل COST 90 تعیین شد. برای ارائه مدل ریاضی مناسب به منظور توضیح رفتار تعادلی رطوبت کشمش، مدل‌های گاب، اسمیت، ازوین، هالسی، هندرسون و آرسی وات مورد بررسی قرار گرفت که از آن میان مدل گاب در دماهای ۴۰، ۵۰ و ۶۰ درجه سانتی‌گراد، مدل‌های آرسی در دماهای ۳۰ و ۶۰ درجه سانتی‌گراد و مدل آرسی وات در دماهای ۷۰ درجه سانتی‌گراد، بهترین برآزش را نشان داد. همچنین انرژی پیوندی جذب در محتوای رطوبتی مختلف تعیین شد.

کلید واژگان: کشمش، جذب، همدما، رطوبت، انرژی پیوندی.

۱- مقدمه

در رقابت میان این کشورها چنانچه فرایندهای تعیین کننده پس از برداشت مانند خشک کردن، بسته‌بندی و ابارداری بهبود یافته و بتوانند کیفیت مورد نظر مصرف کنندگان و بازارهای فروش را بر آورده سازند، در آمد ایران از فروش این محصول به مرتب افزایش خواهد یافت. تا کنون تحقیقی در مورد تعیین همدمای جذب رطوبت برای رقم بی‌دانه قرمز گزارش نشده است. ولی برای انگور بی‌دانه سفید در دماهای پایین تحقیقاتی توسط ضرابی و همکاران انجام شده است [۱]. در آن تحقیق منحنی‌های هم دمای جذبی در دماهای ۳۰، ۴۰ و ۵۰ درجه

درخت انگور که در ایران به نامهای مو یا تاک شناخته می‌شود بیش از ده گونه مختلف دارد که از آن میان سه واریته مهم که بیشتر از بقیه هستند عبارتند از انگور بیدانه سفید^۱، انگور بیدانه قرمز^۲ و موسکای اسکندریه^۳. یکی از فراورده‌های مهمی که از انگور تهیه می‌شود کشمش است. کشمش سهم مهمی را در صادرات خشکبار کشور دارا می‌باشد. از کل سهم بازار جهانی کشمش، ایران پس از ترکیه، ایالات متحده آمریکا و آمریکای جنوبی در مقام چهارم

E-mail: Gholamihassan@yahoo.com

* مسؤول مکاتبات:

1- Thompson seedless

2 - Black currant

3 - Muscat of Alexandriun

موردنیاز از منطقه تاکستان قزوین تهیه شد. رطوبت کشمش در حدود ۱۵ درصد بود. محلول‌های اشباع نمک مورد استفاده در این تحقیق برای تامین رطوبتها نسبی موردنیاز عبارت بودند از: کلرید لیتیم، استات پتاسیم، کلرید منیزیم، کربنات پتاسیم، نیترات منیزیم، نیترات سدیم، کلرید سدیم و کلرید پتاسیم که همگی دارای درجه خلوص بالا بوده و از شرکت مرک^۴ تهیه شدند. برای جلوگیری از کپک زدگی نمونه‌ها در رطوبتها نسبی بالای ۵۰ درصد و در دمای پایین ۵۰ درجه سانتی‌گراد، از تولوژن استفاده گردید. وسایل آزمایشگاهی موردنیاز علاوه بر وسایل معمول عبارت بودند از: انکوباتور با حجم ۲۰۰ لیتر و دقت ۰/۳ درجه سانتی‌گراد، آون خلاء با قابلیت ایجاد فشار مطلق تا ۱۵۰ میلی‌بار، دسیکاتور، ظروف شیشه‌ای کوچک و ظروف شیشه‌ای که حاوی محلول نمک‌های اشباع بودند.

۲- روشهای

متداول‌ترین روشهای اندازه‌گیری رطوبت تعادلی، روشهای وزن‌سنجدی، رطوبت سنجدی و فشار سنجدی می‌باشند که در میان روشهای نامبرده، روش وزن سنجدی علی‌رغم زمان بر بودن آن به دلیل سادگی، عدم نیاز به تجهیزات پیچیده و دقت بالا کار برد گستردتری دارد. در این پژوهش از روش وزن سنجدی ایستا مطابق با دستور العمل COST90 استفاده گردید^۶.

۲-۱-۲- آماده‌سازی مرحله جذب

پس از جدا کردن دم، کشمثها به قطعات ۱ تا ۲ میلی‌متری برش داده شده و حدود ۵۰ گرم توزین و روی ۲ عدد پتی دیش ریخته شد. پتی دیشها به ظروف درب پلاستیکی که درون آنها تا نیمه از سیلیکاژل پر شده بود منتقل گردیدند. پتی دیشها در داخل ظروف به صورت معلق قرار گرفتند. ظروف در دمای اتاق و در جای تاریک قرار داده شدند و پس از ۱۵ روز در فواصل زمانی یک

سانتی‌گراد تعیین گردید و مدل‌هالسی به عنوان مناسب‌ترین مدل برای تعیین رطوبت تعادلی ارائه شد.

گاباس^۱ و همکاران مدلی برای جذب آب در انگور رقم ایتالیا تعیین نمودند. آنها منحنی‌های همدماهی جذبی را در دماهای ۳۵، ۴۰، ۵۰، ۶۰، ۷۰ و ۷۵ درجه سانتی‌گراد تعیین کرده و مدل گاب را به عنوان بهترین مدل برای برآذش داده‌های آزمایش معرفی کردند [۲].

طی تحقیقی در ترکیه منحنی‌های هم دمای جذب برگه زرد آلو، انجیر و کشمش در دماهای ۲۰ الی ۳۶ درجه سانتی‌گراد تعیین شد و مدل گاب به عنوان مناسب ترین مدل برای تعیین رطوبت تعادلی ارائه گردید [۳]. ساراواکوس^۲ و همکاران منحنی‌های همدماهی جذبی کشمش را در دماهای ۲۰، ۲۵، ۳۰ و ۳۵ تعیین نمودند و مدل آرسی وات را به عنوان بهترین مدل پیشنهاد کردند [۴].

تسامی^۳ و همکاران منحنی‌های همدماهی جذب و دفع میوه‌های خشک شده انجیر، آلو، زردآلو و کشمش را در دمای ۱۵، ۳۰، ۴۵، ۶۰ درجه سانتی‌گراد بدست آورده و مدل گاب را به عنوان بهترین مدل تعیین نمودند [۵]. منحنی‌های همدما در دفع آب، ذخیره و بسته‌بندی مواد غذایی مفید هستند. متفاوت بودن ارقام انگور مناطق مختلف از نظر ترکیب شیمیایی و اثر این ترکیبات بر منحنی‌های هم دما انجام این تحقیق را برای ارقام کشمش ایران ضروری می‌سازد. در این پژوهش با استفاده از روش وزن سنجدی ایستا، منحنی‌های همدماهی جذبی کشمش بیدانه قرمز تعیین شده و مدل ریاضی مناسب ارائه می‌گردد.

۲- مواد و روشهای

۱-۲- مواد

آزمایشها بر روی کشمش حاصل از انگور بیدانه قرمز آفتابی بدون هیچ گونه آماده سازی، انجام شد. کشمش

1- Gabbas

2- Saravacos

3- Tsami

انکوباتورها تنظیم شده و سپس ظروف حاوی محلولهای اشباع نمک، درون انکوباتورها قرار داده شد. دمای هوای داخل یکی از ظروف به عنوان شاهد توسط یک دماسنجد به صورت جداگانه اندازه‌گیری گردید. پس از رسیدن دمای محلول درون ظروف به دمای انکوباتور، میزان $1/3$ گرم از نمونه‌های کشمش آماده شده درون ظروف کوچک شیشه‌ای که دارای قطر میانی ۴ و ارتفاع ۵ سانتی‌متر بودند ریخته شده، و سپس بطور معلق در داخل ظروف محبوی محلولهای اشباع نمک قرار داده شد. در تمام مدت آزمایش، هوای درون دستگاه توسط دماسنجد کنترل می‌گردید. پس از سپری شدن ۱۵ روز، اولین توزین نمونه‌ها انجام شده و توزینهای بعدی در فواصل زمانی ۳ روز انجام گرفت. هنگامی که اختلاف دو توزین متوالی کمتر از $0/001$ گرم بود، آن نمونه به تعادل رسیده بود. برای به تعادل رسیدن نمونه‌ها حدود ۳ الی ۴ هفته زمان لازم بود که هرچه رطوبت نسبی پایین تر و یا دمای آزمایش بالاتر بود، این زمان کاهش پیدا می‌کرد. نمونه‌های به تعادل رسیده، برای تعیین رطوبت نهایی در آون خلاء با دمای 70 درجه و فشار 150 میلی بار به مدت ۶ ساعت قرار داده شدند [۶]. سپس توزین نمونه‌ها با دقیقت $0/001$ گرم انجام گردید. پس از تعیین وزن خشک نمونه‌ها، با استفاده از رابطه [۱] رطوبت تعادلی نمونه بر مبنای خشک تعیین گردید.

کلیه آزمایشات در سه تکرار انجام گرفت.

(۱)

$$X_e = \frac{M_w - M_d}{M_d}$$

M_w = وزن نمونه تر

M_d = وزن نمونه خشک

روز در میان پتری دیشها توزین شده و چنانچه اختلاف دو توزین متوالی کمتر از $0/001$ گرم بود به تعادل رسیده بودند. برای اطمینان از خشک بودن کامل، پتری دیشها در آون خلاء با دمای 40 درجه‌سانتی‌گراد و فشار 150 میلی بار و مدت 20 ساعت قرار داده شدند تا رطوبت باقیمانده در نمونه‌های کشمش به حداقل کاهش یابد [۳ و ۴].

۲-۲-۲- آماده‌سازی محلولهای اشباع نمک

برای ایجاد رطوبتها نسبی ثابت در دامنه فعالیت آبی $0/11$ تا $0/84$ از هشت محلول اشباع نمک استفاده شد. درصد رطوبت نسبی ایجادشده توسط نمک‌های مذکور در منابع گزارش شده است [۷]. مقادیر آن در دمای آزمایش در جدول [۱] آمده است. برای اطمینان از باقی ماندن محلولهای نمک در حالت اشباع در حین دوره آزمایش، آماده‌سازی این محلولها در دمای 95 درجه سانتی‌گراد انجام گرفت. پس از اطمینان از اشباع بودن محلول‌ها که با تجمع بلورهای نمک در ته ظروف مشخص می‌شود، جهت کنترل آن، درب ظروف را کامل بسته و در داخل آون با بالاترین درجه آزمایش یعنی 80 درجه سانتی‌گراد به مدت ۶ ساعت قرار داده شد. پس از گذشت زمان مذکور در صورت وجود بلورهای نمک در ته ظروف، محلول اشباع می‌باشد در غیر اینصورت به محلولها مجدداً نمک اضافه کرده و مراحل بالا تکرار شد. پس از آماده‌سازی محلولهای اشباع نمک، مقدار 150 میلی لیتر از هر محلول در ظروف آزمایش ریخته شد. ظروف دارای قطر میانی 14 و ارتفاع 13 سانتی‌متر بود.

۲-۳-۲- تعیین رطوبت تعادلی

برای تسريع در انجام آزمایشها، از دو انکوباتور به طور همزمان استفاده گردید. ابتدا دمای مورد نظر در

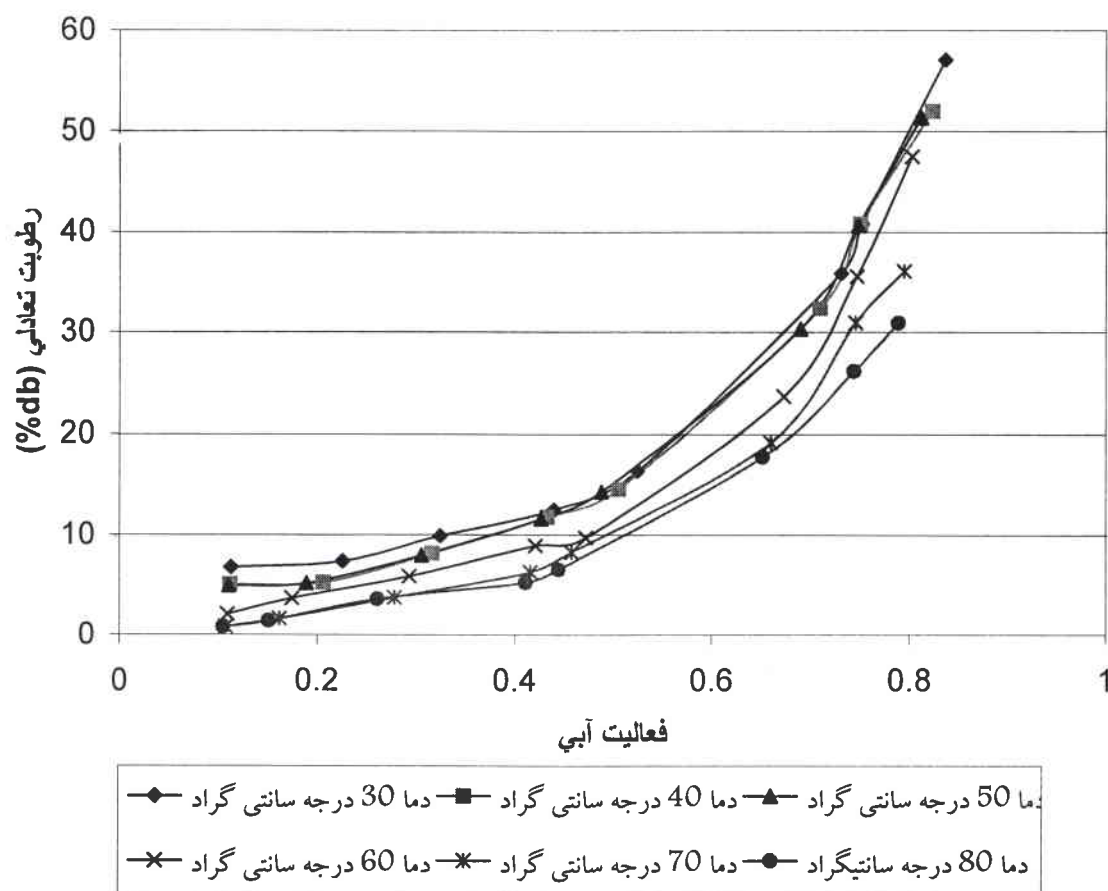
کاهش می‌دهد. در تمامی دماها افزایش فعالیت آبی موجب افزایش رطوبت تعادلی کشمش می‌گردد و این تغییرات در فعالیت آب بالای ۵۰ درصد بیشتر مشهود می‌باشد. همچنین در دماهای بالای ۶۰ درجه سانتی‌گراد و در فعالیت آبی پایین مقدار رطوبت تعادلی تغییر چندانی نداشته که در شکل (۱) می‌توان آن را مشاهده نمود.

۳- نتایج و بحث

۱- بررسی اثرات دما بر روی منحنی‌های جذب میانگین رطوبت تعادلی حاصل از سه تکرار آزمایش و فعالیت آبی محلول‌های اشیاع نمک در جدول (۱) ارائه شده است. منحنی‌های همدمای جذبی نیز در شکل (۱) ترسیم شده است. همانطور که مشاهده می‌شود، افزایش دما در یک فعالیت آبی معین، مقدار رطوبت تعادلی را

جدول ۱ رطوبت تعادلی و فعالیت آبی نمکهای اشیاع در دماهای مختلف

	فعالیت آبی	رطوبت تعادلی (%)	دما (°C)	فعالیت آبی	رطوبت تعادلی (%)	دما (°C)
۲/۰۵	۰/۱۰۹۵	۶/۷۷	۰/۱۱۲۸			
۳/۶۴	۰/۱۷۴۷	۷/۳۵	۰/۲۲۵۶			
۵/۸۷	۰/۲۹۲۶	۹/۹۱	۰/۳۲۴۴			
۸/۹۱	۰/۴۲۱۱	۱۲/۴۷	۰/۴۳۹۶			
۹/۷	۰/۴۷۲۵	۱۶/۳۴	۰/۵۲۰۳			
۲۳/۶۹	۰/۶۷۳۵	۷۰	۳۵/۸۶	۰/۷۳۱۴	۳۰	
۳۵/۰۴	۰/۷۴۷۳		۴۰/۸۰	۰/۷۵۲۴		
۴۷/۴۷	۰/۸۰۲۵		۵۷/۰۸	۰/۸۳۶۲		
۰/۸۳	۰/۱۰۷۵	۵/۰۳	۰/۱۱۲۱			
۱/۶۳	۰/۱۶۶۲	۵/۲۴	۰/۲۰۶			
۳/۷۵	۰/۲۷۷۷	۸/۱۶	۰/۳۱۶			
۶/۲۸	۰/۴۱۰۸	۱۱/۷۵	۰/۴۳۳			
۸/۲۳	۰/۴۵۸	۱۴/۰۴	۰/۵۰۰۹			
۱۹/۱۴	۰/۶۶۰۴	۳۲/۳۵	۰/۷۱	۴۰		
۳۰/۹۲	۰/۷۴۰۷	۴۰/۸	۰/۷۵۰۶			
۳۶/۰۶	۰/۷۹۴۹	۵۱/۹۴	۰/۸۲۳۳			
۰/۷۸	۰/۱۰۰۱	۴/۹۱	۰/۱۱۱			
۱/۳۸	۰/۱۰۰۹	۵/۱۸	۰/۱۸۹۲			
۳/۰۹	۰/۲۶۰۰	۷/۹۶	۰/۳۰۵۴			
۵/۲۳	۰/۴۱۰۹	۱۱/۶۱	۰/۴۲۶۸			
۶/۵۳	۰/۴۴۴۷	۱۴/۲۷	۰/۴۸۸۴			
۱۷/۷۱	۰/۶۵۲۲	۳۰/۳۲	۰/۶۹۰۴	۵۰		
۲۶/۱۷	۰/۷۴۴۳	۴۰/۷	۰/۷۴۸۹			
۳۰/۸۹	۰/۷۸۹	۵۱/۳۱	۰/۸۱۲			



شکل ۱ تأثیر دما بر رطوبت تعادلی

مدلهای ریاضی گاب، اسمنیت، هندرسون، ازوین،
هالسی و دارسی وات به شرح جدول(۲) در
برازش داده‌های تجربی رطوبت تعادلی مورد بررسی
قرار گرفتند. برای برآزش داده‌ها از روش رگرسیون
غیر خطی استفاده شد و به کمک نرم افزارهای
آماری استاتیستیکا^۱ و اکسل^۲ مدل‌های مذکور با
داده‌ها برآزش داده شدند. برای تعیین مناسب بودن
برآزش علاوه بر ضریب همبستگی (R^2) از سه
شاخص دیگر، به شرح جدول ۳ استفاده گردید.

کشمش مانند تمام مواد غذایی که قند بالایی دارند در
فعالیت آبی پایین رطوبت کمتری جذب می‌کند و در
فعالیت آبی بالا رطوبت بیشتری جذب می‌کند. بخش اول
منحنی‌های همدمای که در شکل(۱) دیده می‌شود در تمام
مواد غذایی دیده می‌شود و دلیل آن جذب رطوبت توسط
بیopolymerها است و تیزی منحنی بخاطر جذب بالای
رطوبت قندهای موجود در کشمش می‌باشد. در فعالیت
آبی پایین حالت فیزیکی قندها اثر مهمی روی جذب
رطوبت دارد. قندهای بدون شکل نسبت به قندهای
کریستالی شکل رطوبت بیشتری جذب می‌کنند [۴].

۲-۳- برآزش داده‌ها

به منظور ارائه مدل مناسب برای رفتار تعادلی کشمش،

1 - Statistica

2 -Excel

جدول ۲ مدل‌های مورد استفاده در تحقیق برای برازش داده‌ها

نام مدل	معادله	مرجع
(GAB)	$X_e = \frac{CKM_m A_w}{(1 - KA_w)(1 - KA_w + CKA_w)}$	Guzey et al., 2001
(SMITH)	$X_e = A - B \ln(1 - A_w)$	Guzey et al., 2001
(HENDERSON)	$A_w = 1 - \exp(-AX_e^B)$	Saravacos et al., 1986
(OSWIN)	$X_e = A \left(\frac{A_w}{1 - A_w} \right)^B$	Guzey et al., 2001
(HALSEY)	$X_e = \left(\frac{-A}{\ln A_w} \right)^B$	Guzey et al., 2001
(D'ARCY-WATT)	$X_e = \frac{ABA_w}{1 + AA_w} + CA_w + \frac{DEA_w}{1 - DA_w}$	Saravacos et al., 1986

ارزشمندی برای درک مکانیزم جذب بوده و در محل مربوط به موازنۀ جرم و انرژی خشک‌کنها کاربرد دارد. رابطه ترمودینامیکی کلازیوس – کلایپرونون^۱، ارتباط بین فعالیت آب، انرژی پیوندی و دما را بیان می‌کند.

(۲)

$$\frac{d(\ln aw)}{d(\frac{1}{T})} = -\frac{E_b}{R}$$

 E_b = انرژی پیوندی R = ثابت گازها

از اندازه‌گیری تجربی همدماهی جذب در دماهای گوناگون، انرژی پیوندی متوسط از رسم $\ln aw$ بر حسب $1/T$ در رطوبتهای مختلف، در یک دامنه دمایی تعیین می‌شود. برای دامنه دمایی این منحنی برای هر مقدار رطوبت معمولاً خط راست می‌باشد. شبیه این خط E_b/R – می‌باشد.

نتایج حاصل از تعیین انرژی پیوندی نشان می‌دهد که وقتی رطوبت کشمکش افزایش می‌یابد انرژی پیوندی کاهش می‌یابد. علت آن نزدیک شدن خصوصیات آب موجود در مواد غذایی به آب آزاد می‌باشد [۲، ۳]. در

نتایج بدست آمده از برازش مدل‌های مورد آزمون در دماهای ۳۰، ۴۰، ۵۰، ۶۰، ۷۰ و ۸۰ درجه سانتی‌گراد در جدول (۴) آمده است. نتایج حاصله نشان داد که در بیشتر موارد مدل‌های گاب، هالسی و دارسی وات، برازش قابل قبولی با داده‌های آزمایش داشته و می‌توان از آنها برای تخمین رطوبت تعادلی در دماها و رطوبتهای نسبی مختلف استفاده نمود. همچنین در بین مدل‌ها، مدل اسمیت و هندرسون دارای ضعیفترین برازش در دماهای مختلف بودند. در مجموع در دماهای ۳۰ و ۶۰ درجه سانتی‌گراد مدل‌هالسی، در دماهای ۴۰، ۵۰ و ۸۰ درجه سانتی‌گراد مدل گاب و در دمای ۷۰ درجه سانتی‌گراد مدل آرسی وات دارای بیشترین مقدار R^2 و کمترین مقدار P و $RMSE$ بوده و لذا مناسبترین مدلها می‌باشند. شکل‌های ۲ تا ۷ برازش این مدلها را با داده‌های آزمایش در دماهای مختلف نشان می‌دهد.

۳-۳- تعیین انرژی پیوندی

انرژی پیوندی جذب به صورت مقدار انرژی لازم برای جدا سازی آب از ماده غذایی مازاد بر میزان انرژی لازم برای تبخیر آب آزاد تعریف می‌شود. این پارامتر یک ابزار

۱- Clausius – Clapeyron equation

است. با توجه به این که بهترین رطوبت کشمش ۱۶ درصد می‌باشد، مقدار انرژی پیوندی برای رسیدن به رطوبت مناسب با توجه به منحنی شکل (۸) ۵/۲۲۳ می‌باشد.

رطوبتهای پایین مقدار انرژی پیوندی افزایش می‌باید که علت آن را می‌توان به پیوند قوی بین مولکولهای آب با کشمش بیان نمود. منحنی انرژی پیوندی در محتوای رطوبتی ۸ درصد تا ۲۲ درصد در شکل (۸) ترسیم شده

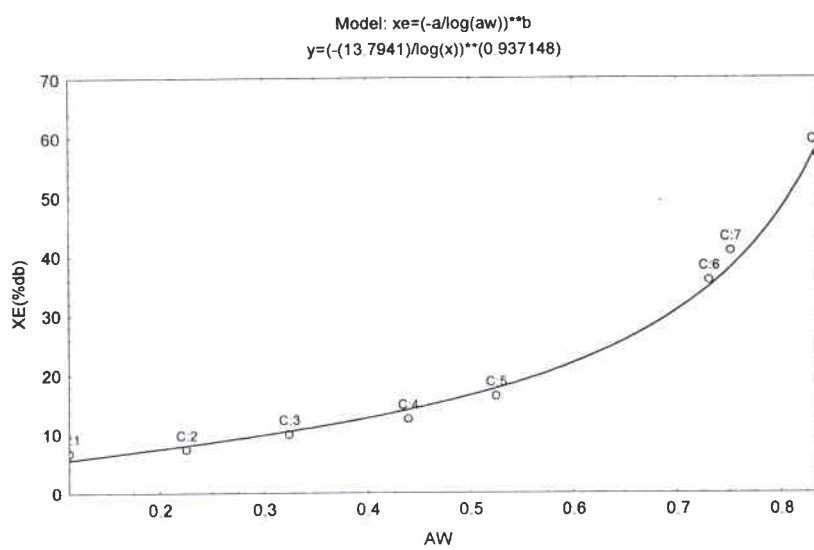
جدول ۳ شاخص‌های ارزیابی مدل‌های بکار برده شده در تحقیق

مراجع	رابطه	نام شاخص
San Martin et al., 2001	$P = \frac{100}{N} \sum \left \frac{X_p - X_o}{X_o} \right $	(P value)P مقدار
San Martin et al., 2001	$\chi^2 = \frac{1}{N-n} \sum (X_e - X_o)^2$	مرربع کای (Chi square)
San Martin et al., 2001	$R_{MSE} = \sqrt{\frac{1}{N} \sum (X_e - X_o)^2}$	ریشه میانگین مربعات خطای (Root mean square error)

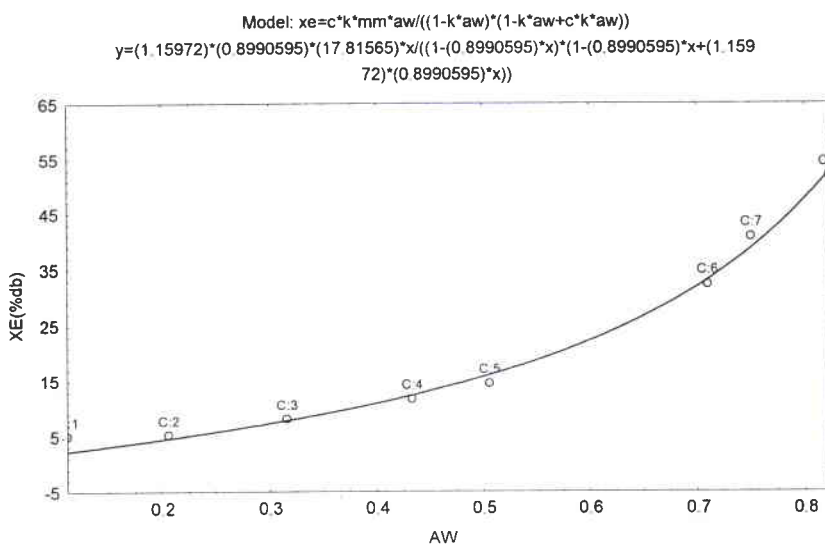
جدول ۴ خصایص مدل‌های برآورد شده بر داده‌های آزمایش

χ^2	R _{MSE}	P	R ²	M _m or E	K or D	C	B	A	°C	مدل
۴/۲۸	۱/۷۳	۱۰/۰۸	۰/۹۹۱۴	۰/۵۴۳	۰/۹۷۳	۳/۲۱۵	-	-	۳۰	
۳/۲۶	۱/۴۳	۱۲/۰۴	۰/۹۹۲۸	۱۷/۸۲	۰/۸۹۹	۱/۱۶۰	-	-	۴۰	
۲/۳۳	۱/۲۱	۱۰/۰۷	۰/۹۹۴۶	۱۳/۷۷	۰/۹۵۳	۱/۱۷۷	-	-	۵۰	
۲/۳۳	۱/۲۱	۲۹	۰/۹۹۸۰	۱۰/۰۷	۰/۰۲۰	۱/۳۳۳	-	-	۶۰	
۰/۹۱	۰/۷۰	۶/۱۶	۰/۹۹۷۰	۲۸۲/۲	۰/۷۵۴	۰/۰۳۷	-	-	۷۰	گاب
۰/۰۵	۰/۴۹	۸/۶۳	۰/۹۹۷۰	۰/۰۹/۶	۰/۷۲۹	۰/۰۲۰	-	-	۸۰	
۱۳/۰۲	۳/۱۲	۲۰/۱۱	۰/۹۶۸۰	-	-	-	۳۰/۳۲۲	-۱/۷۳۶	۳۰	
۹/۲۱	۲/۶۳	۲۱/۹۱	۰/۹۷۷۰	-	-	-	۳۰/۱۷۶	-۲/۷۶۸	۴۰	
۷	۳/۰۵	۲۲/۶۴	۰/۹۷۴۶	-	-	-	۳۰/۰۱۹	-۲/۶۵۷	۵۰	
۱۴/۰۵	۳/۲۵	۴۲/۰۲	۰/۹۰۷۰	-	-	-	۲۹/۰۹۲	-۴/۰۰۵	۶۰	
۰/۸۰	۲/۰۹	۶۰/۷۵	۰/۹۷۳۰	-	-	-	۲۴/۳۸۷	-۴/۳۲۴	۷۰	اسمیت
۳/۷۱	۱/۶۷	۵۶/۸۷	۰/۹۷۷۱	-	-	-	۲۱/۱۱۳	-۳/۴۲۸	۸۰	
۷/۰۹	۲/۳۱	۱۸/۸۳	۰/۹۸۲۸	-	-	-	۰/۸۰۴	-۰/۰۷۱	۳۰	
۳/۷۱	۱/۶۷	۱۶/۱۲	۰/۹۹۰۲	-	-	-	۰/۷۷۶	-۰/۰۸۱	۴۰	
۳/۴۹	۱/۶۲	۱۶/۹۴	۰/۹۹۰۵	-	-	-	۰/۷۶۹	-۰/۰۸۲	۵۰	
۲/۷۰	۱/۴۲	۲۳/۱۱	۰/۹۹۱۷	-	-	-	۰/۶۲۶	-۰/۰۱۴۷	۶۰	
۰/۸۸	۰/۸۱	۱۱/۹۲	۰/۹۹۶۰	-	-	-	۰/۶۳۸	-۰/۰۱۰۹	۷۰	هندرسون
۰/۴۷	۰/۷۰	۱۴/۱۱	۰/۹۹۷۰	-	-	-	۰/۶۵۷	-۰/۰۱۶۲	۸۰	
۴/۶۳	۱/۸۶	۱۴/۹۲	۰/۹۸۸۸	-	-	-	۰/۶۴۱	۲۱/۴۴۹	۳۰	
۳/۰۵	۱/۰۱	۱۱/۱۷	۰/۹۹۱۹	-	-	-	۰/۶۷۷	۱۹/۹۰۱	۴۰	
۲/۱۴	۱/۲۷	۱۱/۷۵	۰/۹۹۴	-	-	-	۰/۷۱۱	۱۹/۴۹۴	۵۰	
۰/۷۴	۰/۷۴	۱۱/۳۹	۰/۹۹۷۷	-	-	-	۰/۹۸۱	۱۲/۰۸۰	۶۰	
۱/۴۳	۱/۰۳	۱۳/۸	۰/۹۹۳۵	-	-	-	۰/۹۵۰	۱۰/۴۵۲	۷۰	ازوین
۰/۹۳	۰/۸۳	۱۰/۳۶	۰/۹۹۶	-	-	-	۰/۹۲۱	۹/۶۳۰	۸۰	

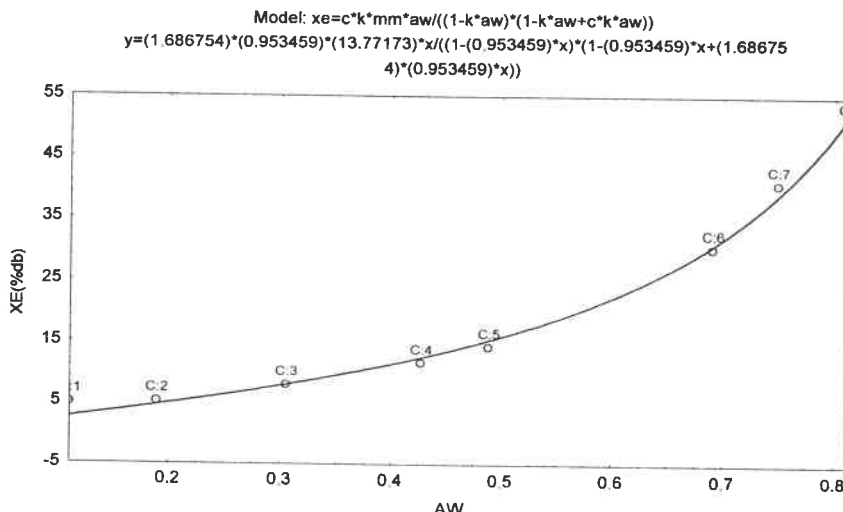
۳/۰۱	۱/۰۰	۸/۲۱	۰/۹۹۲۷	-	-	-	۰/۹۳۷	۱۳/۷۹۴	۳۰
۴/۷۳	۱/۸۸	۹/۹۹	۰/۹۸۷۵	-	-	-	۰/۹۹۴	۱۰/۸۱۹	۴۰
۲/۰۳	۱/۳۸	۷/۶۶	۰/۹۹۳۱	-	-	-	۱/۰۳۱	۹/۸۲۱	۵۰
۰/۶۸	۰/۷۱۶	۷/۱۴	۰/۹۹۷۹	-	-	-	۱/۲۳۵	۰/۰۷۹	۶۰
۳/۰۱	۱/۰۰	۳۷/۰۴	۰/۹۸۶۳	-	-	-	۱/۲۴۷	۴/۲۵۹	۷۰
۲/۱۸	۱/۲۸	۳۶/۹۱	۰/۹۸۶۶	-	-	-	۱/۲۳۶	۳/۹۵۷	۸۰
۸/۶۶	۱/۸۰	۰/۱۳۹	۰/۹۸۹۰	۴/۵۱۰	۰/۹۶۶	۱۲/۸۹۳	-۶/۰۸۲	-۰/۹۶۶	۳۰
۷/۱۸	۱/۰۲	۱۴/۴۸	۰/۹۹۱۸	۱۱/۶۰۷	۰/۷۸۷	-۱۰/۶۱۸	-۲۱/۱۶۸	-۰/۸۲۹	۴۰
۴/۰۹	۱/۲۳	۱۱/۰۰	۰/۹۹۴۰	۰/۶۴۲	۰/۹۴۴	-۶/۳۶۰	-۸/۰۹۹	-۰/۹۴۴	۵۰
۱/۴۴	۰/۷۴	۹/۹۰	۰/۹۹۷۸	۴/۷۶۴	۰/۷۷۰	۰/۸۳۶	-۸/۷۰۲	-۰/۰۳۰	۶۰
۱/۶۱۱	۰/۷۸	۰/۷۵	۰/۹۹۶۳	۱۶/۹۷۶	۰/۶۲۵	-۱۰/۸۴۲	-۱۱/۸۰۷	-۰/۹۲۴	۷۰
۰/۹۲۸	۰/۰۹	۸/۳۹	۰/۹۹۷۱	۱۰/۷۵۹	۰/۸۰۸	-۷/۲۴۷	-۰/۲۶۱	-۰/۹۳۰	۸۰



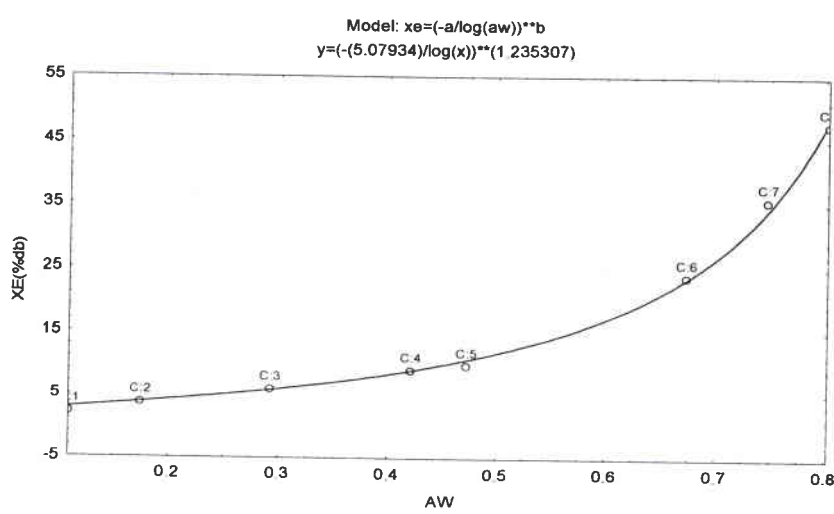
شکل ۲ برآزش مدل هالسی با داده‌های آزمایش در دمای ۳۰ درجه سانتی‌گراد



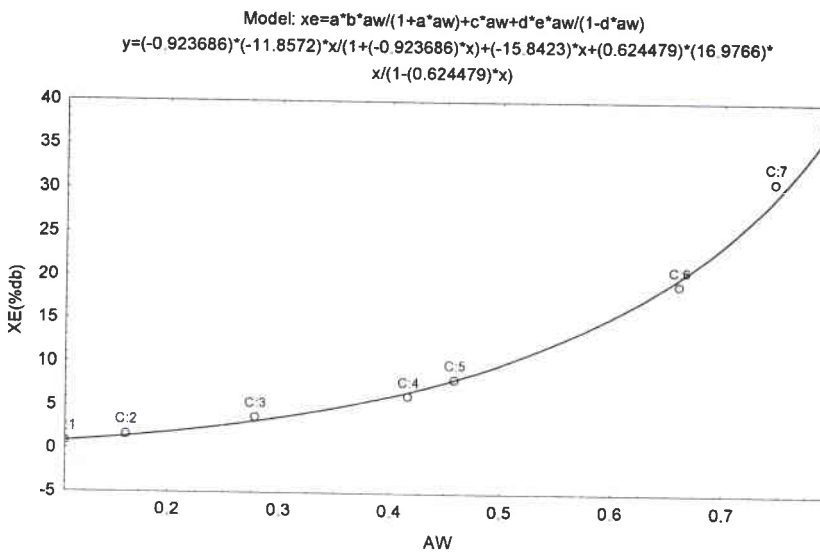
شکل ۳ برآزش مدل گاب با داده‌های آزمایش در دمای ۴۰ درجه سانتی‌گراد



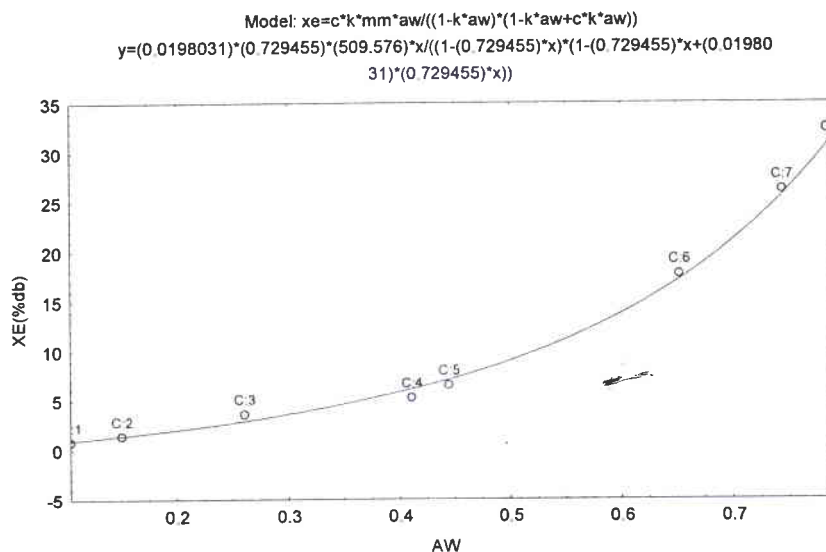
شکل ۴ برازش مدل گاب با داده‌های آزمایش در دمای ۵۰ درجه سانتی‌گراد



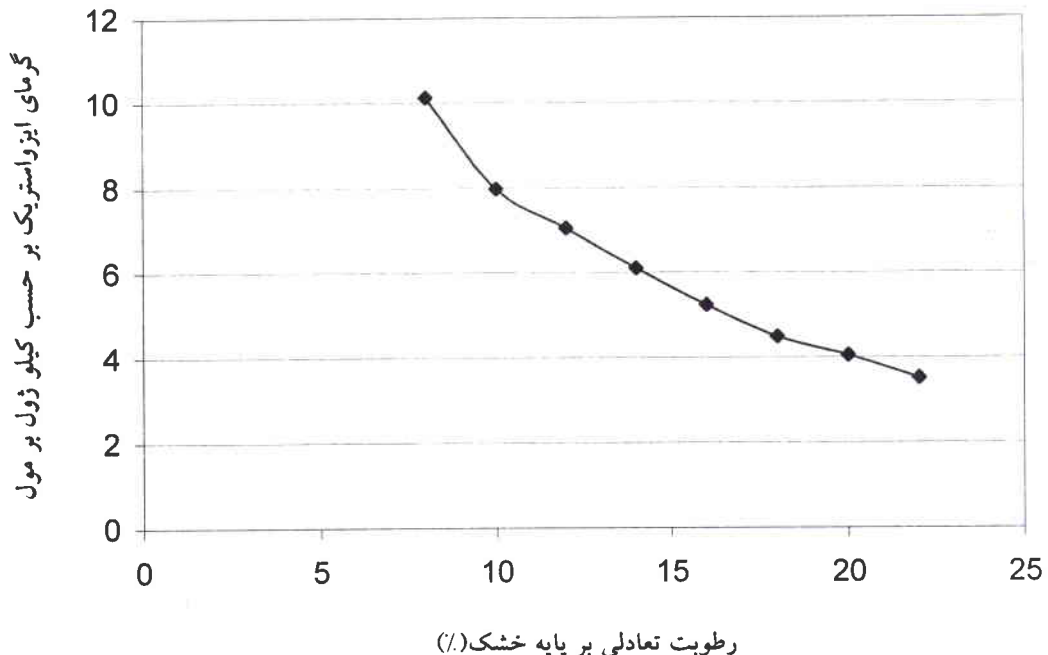
شکل ۵ برازش مدل هالسی با داده‌های آزمایش در دمای ۶۰ درجه سانتی‌گراد



شکل ۶ برازش مدل آرسی وات با داده‌های آزمایش در دمای ۷۰ درجه سانتی‌گراد



شکل ۷ برآزش مدل گاب با داده‌های آزمایش در دمای ۸۰ درجه سانتی‌گراد



شکل ۸ مقادیر انرژی پیوندی در محتوای رطوبتی مختلف

۴- منابع

- [2] Gabas, A.L., Telis-Romero, J. and Menegalli, F.C. 1999. Thermodynamic models for water sorption by grape skin and pulp. Drying Technology. 17(4): 961-974.

[۱] ضرابی، مهناز. ۱۳۷۷. تعیین پارامترهای طراحی در خشک کردن انگور. پایان نامه کارشناسی ارشد، دانشگاه تربیت مدرس، دانشکده مهندسی شیمی، صفحه ۱۰-۱۴۰.

- [8] Guzey, D., Ozdemir. M., Seyhan, F.G. and Devres, Y.O. 2001. Adsorption isotherms of raw and roasted hazelnuts. *Drying Technology*, 19: 691-699.
- [9] San Martin, M. B., Mate, J. I, Fernandez, T. and Virseda, P. 2001. Modeling adsorption equilibrium moisture characteristics of rough rice. *Drying Technology*, 19: 681-690.
- [10] Simal, S., Rosselo, C., Sanches E. And Canellas, J. 1996. Quality of raisin treated and stored under different conditions. *Journal Agriculture Food Chemistry*. 44:3297-3302.
- [11] Vazquez, G. Chenlo, F., moreira,R. and Carballo,L. 1999. Adsorption isotherms of Muscatels and Aledo grape, and influence of pretreatment on muscatel isotherm. *Journal of Food Engineering*. 39: 409-414.
- [3] Ayranchi, E., Ayranci, G. and Dogantac, Z. 1990. Moisture sorption isotherms of dried apricot, fig and raisin at 20°C and 36°C. *Journal of Food Science* 55: 1591-1593.
- [4] Saravacos, G.D., Tsiorvas, D.A. and Tsami, E. 1986. Effect of temperature on the water adsorption isotherms of Sultana Raisins. *Journal of Food Science*, 51: 381-385.
- [5] Tsami, E., Marinos-Kouris, D. and Maroulis, Z.B. 1990. Water sorption isotherms of Raisins, Currants, Figs, Prunes and Apricots. *Journal of Food Science*, 55: 1594-1597.
- [6] Spiess, W. E., and Wolf, W.R. 1983. The result of cost 90 projects on water activity. In r. jowitt et al. (Ed). *Applid Science Pub*: 67-87.
- [7] Rahman, S. 1995. *Food Properties Handbook*. CRC press. Pp 1-45.

Estimation of Moisture Sorption Isotherms for Black Currant Raisins and Determining the Best Appropriate Model

Mohammad Gholami Parshokouhi¹, Saeid Minaei^{2*}

1- Ph.D. Student, Agricultural Machinery Engineering, Islamic Azad Univ. Science and research branch, Tehran, Iran.

2- Assistant Professor, Agricultural Machinery Engineering Dept. Tarbiat Modarres University, Tehran, Iran.

Moisture sorption isotherms are useful in food dehydration, storage and packaging. Due to the complex food composition, theoretical prediction of the isotherms is not possible and experimental measurements are necessary.

Moisture sorption isotherms of black currant raisins were determined at 30,40,50,60,70 and 80 °C, using the standard static gravimetric method developed by the European cooperation project COST 90.

GAB, Smith, Oswin, Halsey, Henderson and D'Arcy-Watt equation were fit the data. The experimental data were fitted well with GAB equation at 40,50 and 80 °C, with Halsey equation at 30 and 60 °C and at 70 °C with D'Arcy-Watt equation. So, Isosteric heat of sorption data obtained at different moisture content.

Keywords: Raisin, Isotherm, Sorption, Moisture, Isosteric.

* Corresponding author E-mail: Gholamihassan@yahoo.com